Zeitschrift: Schweizerische Bauzeitung

Herausgeber: Verlags-AG der akademischen technischen Vereine

Band: 65 (1947)

Heft: 39

Artikel: Drehzahlregelung der Wasserturbinen

Autor: Stein, Th.

DOI: https://doi.org/10.5169/seals-55953

Nutzungsbedingungen

Die ETH-Bibliothek ist die Anbieterin der digitalisierten Zeitschriften auf E-Periodica. Sie besitzt keine Urheberrechte an den Zeitschriften und ist nicht verantwortlich für deren Inhalte. Die Rechte liegen in der Regel bei den Herausgebern beziehungsweise den externen Rechteinhabern. Das Veröffentlichen von Bildern in Print- und Online-Publikationen sowie auf Social Media-Kanälen oder Webseiten ist nur mit vorheriger Genehmigung der Rechteinhaber erlaubt. Mehr erfahren

Conditions d'utilisation

L'ETH Library est le fournisseur des revues numérisées. Elle ne détient aucun droit d'auteur sur les revues et n'est pas responsable de leur contenu. En règle générale, les droits sont détenus par les éditeurs ou les détenteurs de droits externes. La reproduction d'images dans des publications imprimées ou en ligne ainsi que sur des canaux de médias sociaux ou des sites web n'est autorisée qu'avec l'accord préalable des détenteurs des droits. En savoir plus

Terms of use

The ETH Library is the provider of the digitised journals. It does not own any copyrights to the journals and is not responsible for their content. The rights usually lie with the publishers or the external rights holders. Publishing images in print and online publications, as well as on social media channels or websites, is only permitted with the prior consent of the rights holders. Find out more

Download PDF: 30.11.2025

ETH-Bibliothek Zürich, E-Periodica, https://www.e-periodica.ch

Nachdruck von Bild oder Text nur mit Zustimmung der Redaktion und nur mit genauer Quellenangabe gestattet

Nr. 39

Drehzahlreglung der Wasserturbinen

Von Dipl. Ing. TH. STEIN, Escher Wyss A.-G., Zürich DK621.24-531.6 I. Das Regelproblem als Engpass der Weiterentwicklung

Wirkungsgrad und Anlagekosten sind massgebend für die Wirtschaftlichkeit der ausgebauten Wasserkraft. Nachdem der Wirkungsgrad der Wasserturbinen gemäss einer Untersuchung von Moser [7] im Laufe eines Jahrhunderts von 60 bis 70 % auf über 90 % gestiegen ist (Bild 1a), sind keine wirtschaftlich einschneidenden Verbesserungen des Vollast-Wirkungsgrades mehr zu erwarten. Dagegen ist die Herabsetzung der Anlagekosten der Wasserturbinen durch Senkung des Materialaufwandes in kg/PS noch nicht abgeschlossen. Von 140 kg/PS ist das Leistungsgewicht auf 3 kg/PS bei mittleren und hohen Gefällen und auf 12 kg/PS bei Niederdruckturbinen gesunken (Bild 1b). Neben dem Uebergang zu hohen Einheitsleistungen sind die Bemühungen der letzten Jahrzehnte darauf gerichtet, die Schnelläufigkeit der Turbinen zu steigern. Das senkt nicht nur die hier wiedergegebenen Leistungsgewichte der Turbinen selbst, sondern darüber

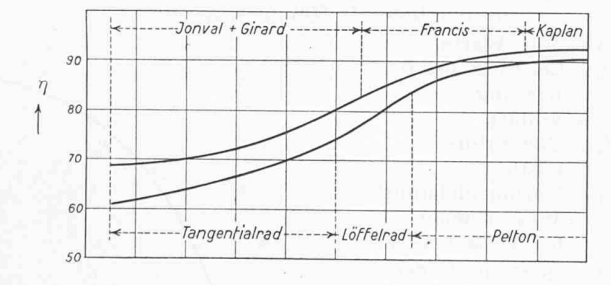
Durch höhere Schnelläufigkeit herabgesetzte Schwungmassen haben die Anlaufzeit T_a der Turbinengruppen von früher über 10 s auf unter z. B. 6 s gesenkt. Umgekehrt wurde durch längere Rohrleitungen und höhere Abflussgeschwindigkeiten der Einfluss der Wassermassen gesteigert, was in hydraulischen Anlaufzeiten T_l von 2 bis 3 s statt früher unter 1 s zum Ausdruck kommt. Wie später gezeigt wird, ist der Verhältniswert der Anlaufzeiten der Schwungmassen T_a und der Wassermassen T_l für die Stabilität der Regulierung ent-

hinaus die Anlagekosten der angetriebenen Generatoren.

Tabelle 1. Alte und neue Werte für die Anlaufzeiten

| | T_a s | T_l s | T_a/T_l | massgebend für Stabilität | |
|--------|---------|---------|---|------------------------------|--|
| Früher | > 10 | < 1 | $\begin{vmatrix} > 10 \\ < 2 \end{vmatrix}$ | also heute fünfmal | |
| Heute | < 6 | bis 3 | | ungünstiger | |

scheidend. Wie aus Tabelle 1 hervorgeht, ist dieser Verhältniswert T_a/T_l mehr als fünfmal ungünstiger geworden. Dadurch kommt man heute aus Gründen der Reglungsstabilität an eine Grenze, die zwingen würde, die erreichten Fortschritte höherer Schnelläufigkeit preiszugeben, indem man der Stabilität zuliebe grössere Schwungmassen verwendet als sie mit Rücksicht auf die Turbinenkonstruktion notwendig wären.



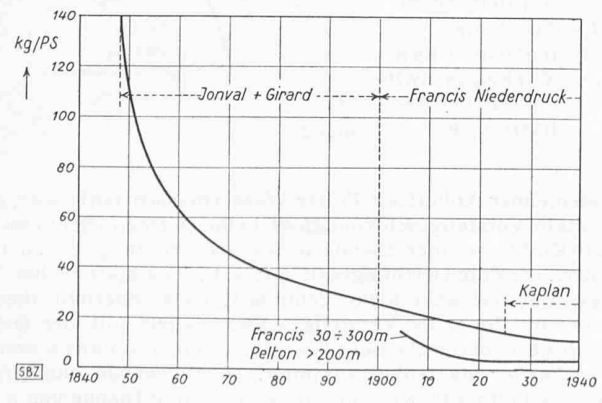


Bild 1a und 1b. Verbesserung von Wirkungsgrad und Leistungsgewicht der Wasserturbinen in einem Jahrhundert nach Moser [7] zeigt, dass eine Weiterentwicklung der Wirtschaftlichkeit praktisch nur von einer weiteren Senkung des Materialaufwandes kg/PS zu erwarten ist.

Um den technischen Fortschritt nicht zu hemmen, ist es deshalb zweckmässig, die theoretischen Voraussetzungen klarzustellen, die einzuhalten sind, um auch in kritischen Fällen mit den konstruktiv zulässigen kleinsten Schwungmassen den Regelvorgang zu beherrschen. Da beim Netzbetrieb der Wasserturbinen die Selbstreglung [4] des Netzes bei abweichender Frequenz den automatischen Regelvorgang oft unterstützt, ist ferner der quantitative Einfluss dieser Selbstreglung zu erfassen und die schärferen Bedingungen festzustellen, die einzuhalten sind, wo dieser Einfluss fehlt und wo es darauf ankommt, nicht nur die Stabilitätsgrenze zu erreichen, sondern den Regelvorgang in einer bestimmten $Abklingzeit\ T_{1/10}$ zu beenden [4], [5].

II. Kataraktregler und Beschleunigungsregler

Hier ist die praktisch wichtigste Frage, ob es nur bestimmten Reglerarten vorbehalten bleibt, den bestehenden Engpass zu überwinden, oder ob verschiedene Reglerarten hierzu imstande sind.

Bei grosser Anlaufzeit T_a der Schwungmassen und kleiner Anlaufzeit T_l der Wassermassen, genügte früher die übliche permanente Drehzahl-Statik zwischen Vollast und Leerlauf von z. B. 3 bis 5 $^{\rm o}/_{\rm o}$, um die Stabilität sicherzustellen (siehe die Zusammenstellung der Formelzeichen und Definitionen auf S. 532). Als dann die Wassermassen im Verhältnis zu den Schwungmassen stärker hervortraten, wurden zur Sicherung der Stabilität zwei ganz verschiedene Wege beschritten:

1. Kataraktregler stellen temporär eine stabilisierende grössere Statik (z. B. 20 $^{0}/_{0}$) ein, die sie durch den Katarakt mit der «Isodromzeit» T_{i} verzögert auf die permanente Statik (z. B. 4 $^{0}/_{0}$) abklingen lassen.

2. Der Drehzahlregler behält seine permanente Statik (z. B. 4 $^{0}/_{0}$), und ein die Beschleunigung messender Zusatzregler verstärkt die Stabilität, wobei aber, um die Wassermassen nicht aufzuschaukeln, die Verstellgeschwindigkeit der Hauptsteuerung zu verzögern ist.

Es ist allgemein bekannt, dass für die Stabilität die schmale Zone sehr kleiner Abweichungen von Drehzahl und Steuerung von ihrem Beharrungszustand massgebend ist. Wie die Stabilitätsbedingungen zeigen werden, ist in dieser schmalen Zone bei beiden Reglerarten eine Verzögerung der Steuerbewegungen notwendig. Sie muss umso grösser sein je grösser die Anlaufzeiten T_l der Wassermassen gegenüber denen der Schwungmassen Ta sind. Man darf also nicht den Beschleunigungsregler als schnellen und den Kataraktregler als langsamen Regler ansehen. Dies wäre nur dann richtig, wenn man beim Kataraktregler ausser der zur Stabilität notwendigen Verzögerung durch die Isodromzeit eine weitere Verzögerung durch ebenso langsame Verstellgeschwindigkeit des Hauptservomotors einführen würde, wie sie beim Beschleunigungsregler notwendig ist. Im Gegenteil gestattet aber die Zeitverzögerung des Katarakts im Bereich kleiner Abweichungen, die Verstellgeschwindigkeit des Hauptservomotors ohne Störung der Stabilität beliebig stark mit der Oeffnung des Steuerventils zunehmen zu lassen. Das hindert nicht die maximale Verstellgeschwindigkeit des Hauptservomotors, die bei grösseren Drehzahlabweichungen ausgelöst wird, in engen Grenzen zu halten, um den Druckstoss in der Rohrleitung zu begrenzen, der bei schnellem Oeffnen entsteht sowie bei schnellem Schliessen für Turbinen ohne Strahlablenker oder ohne Druckregler.

III. Der ideale Kataraktregler

Beim heutigen Kataraktregler von Escher Wyss wird von dieser Erkenntnis konsequent Gebrauch gemacht. Nach dem Beispiel, Bild 3, sind für die gleiche maximale Verstellgeschwindigkeit von z. B. 5 % pro s, die mit Rücksicht auf den Druckstoss zu begrenzen ist, ein sehr stark abweichender Anstieg der Verstellgeschwindigkeit mit der Steueröffnung möglich. Bei den ursprünglichen Drehzahlreglern arbeitete man mit Verstellgeschwindigkeiten, die mit der Steueröffnung annähernd proportional zunahmen bis zur «maximalen» Steueröffnung. Als solche galt der Steuerhub, der einer Rückführbewegung zwischen Vollast und Leerlauf, also der permanenten Statik entsprach. Schon die Beschleunigungsregler erreichen bei viel kleineren Hüben, die nur einem Bruchteil der Statik entsprechen, die maximale Verstellgeschwindigkeit.

Formelzeichen und Definitionen Für die Verwendung der Ergebnisse

n =Drehzahl pro Minute

 $T_a =$ Anlaufzeit der Maschine in s vom Stillstand auf Voll-

 $[T]^1$) last bei Beschleunigung durch das konstante Vollast-Drehmoment

$$T_a = rac{GD^2 imes n^2}{268\,900 imes ext{PS Vollast}}$$
 Grössenordnung: 6 bis 3 s

 $T_{l} =$ Anlaufzeit der Wassermassen vom Stillstand auf die

 $[\Theta]^1$) Wassergeschwindigkeit bei Vollast

$$T_{\ell} = rac{\sum L v_{ ext{max}}}{g \, H_s}$$

Grössenordnung: 1 bis 3 s

 $\delta_p = rac{\varDelta n_{
m max}}{\sigma} = {
m permanente \ Statik} = {
m relativer \ Unterschied}$ der Drehzahlen im Beharrungszustand zwischen Volllast und Leerlauf. (Beim Isodromregler ist $\delta_p=0$)

 $\delta_t =$ temporäre Statik = relative Drehzahlabweichung, die durch die Rückführung bei Verstellung des Servomotors um Vollast entstehen würde bei verschlossen gedachter Ausgleichdüse des Katarakts. (Isodromzeit $T_i = \infty$)²)

 $\delta = \frac{\varDelta n_{\max}}{2}$ = Dynamik = relative Drehzahlabweichung zur Herstellung der maximalen Verstellgeschwindigkeit. Der Ausdruck «Dynamik» wird eingeführt um zu verhindern, dass diese für den dynamischen Regelvorgang (Abweichung vom Beharrungszustand) massgebende Grösse mit der Statik verwechselt wird, was in der Praxis häufig geschieht. Eine Aenderung der Statik berührt die Dynamik überhaupt nicht. Regler mit beliebiger Einstellung ihrer permanenten Statik haben eine davon ganz unabhängige Dynamik und selbst bei Reglern ohne Rückführung, bei denen sowohl die permanente als eine temporäre Statik wegfallen können, bleibt die Dynamik erhalten

 $T_s =$ Schliesszeit (Oeffnungszeit) des Servomotors um den $[\tau]^1$) vollen Hub bei maximaler Verstellgeschwindigkeit²)

 $T_i = ext{Isodromzeit} = ext{Zeit zum Durchlaufen des maximalen}$ [au'']1) Katarakthubes $x_{ ext{max}}$ unter dem Einfluss der konstant gedachten Kraft, die beim Zusammendrücken der Kataraktfeder um x_{\max} entsteht. Praktisch zu messen als Zeit, in der ein Kataraktausschlag (event. vorhandene Rückführung stillgesetzt) auf 37 $^{\rm o}/_{\rm o}$ seines Anfangswertes abklingt

 $au'= ext{Stellzeit}=\delta\,T_s\equiv\,\delta_t\,T_i$ für Stabilität massgebende Zeitkonstante

 $T_{ac} \equiv \operatorname{Beschleunigungszeit}$ des Beschleunigungsreglers $[m]^{1}$

 $T_{1/_{10}} = \text{Abklingzeit des Drehzahlausschlages auf } ^{1}/_{10}$, praktische Dauer des Regelvorganges

1) Entsprechende Bezeichnungen nach Gaden [9]. Es ist zu beachten, dass Gaden die Zeitkonstanten nicht auf Vollast, sondern auf die

Last im Beharrungszustand bezieht. 2) Die praktischen Reglerkonstanten $T_{\mathcal{S}}$ und δ_{ℓ} bezieht man meist auf den Vollasthub $m_{1/1}$ des Servomotors. Die Stabilitätskurven basieren dagegen auf den theoretischen «linearisierten» Reglerkonstanten. Durch die Tangente an die Leistungskurve bei der betreffenden Last

ist $m_{
m max}$ zu bestimmen. Die massgebende theoretische Reglerkonstante ist: praktische Reglerkonstante $imes rac{m_{
m max}}{m_{\,1/1}}$ (siehe Bild 2)

Für den Druckstoss ist T_s auf den ganzen Servomotorhub m_0 (volkommener Abschluss bis Vollast) zu beziehen. Für die Uebertouren ist T_s bezogen auf $m^{-1}/_1$ massgebend, siehe Bild 2

Der Anstieg ist aber aus Stabilitätsgründen, wie später gezeigt wird, zu begrenzen. Beim Kataraktregler dagegen kann man stabil den Anstieg beliebig steigern, wobei man trotzdem durch eine Blende die Verstellgeschwindigkeit auf den Wert begrenzt, der einen unzulässigen Druckstoss verhindert.

So stark auch die Herstellung der maximalen Verstellgeschwindigkeit bei kleinsten Steuerhüben die Eigenschaften des Kataraktreglers verbessert hat, verlief diese Entwicklung fast unbemerkt, da in den letzten Jahrzehnten die entgegengesetzte Tendenz nach aussen hin sichtbar wurde: Die Reduktion der maximalen Verstellgeschwindigkeit des Hauptservomotors mit Rücksicht auf den Druckstoss. Allgemein bekannt ist nach Tabelle 2, dass es zur Vermeidung des Druckstosses

 $e_s =$ Selbstreglungskonstante = $e_{sg} - e_{st} =$ $[\alpha]^1$ º/o Drehmomentänderung 0/0 Drehzahländerung $^{0}/_{0}$ Leistungsänderung ⁰/₀ Drehzahländerung Grössenordnung: 0 bis 5 = Selbstreglungskonstante des Netzes $[\alpha_r]^1$) Grössenordnung: -1 bis +4 $e_{st} = \mathrm{Selbstreglungs}$ konstante der Turbine $[\alpha_m]^{\scriptscriptstyle 1})\;e_{st}=-1$, bei Schnelläufern bis - 0,6 $z = ext{Belastungsgrad}$ bezogen auf verbrauchte Wassermenge $z = Q_0/Q_{\text{max}}$ $z_0 = \mathrm{Belastungsgrad}$ bezogen auf erzeugte Turbinenleistung $z_{\rm o} \equiv P_{\rm o}/P_{\rm max}$ λ = Entlastungsgrad bei plötzlicher Abschaltung = = $P/P_{
m max}$ (bei Vollast-Abschaltung: λ = 1) $arphi_{
m max} =$ maximale Uebertouren in $^{
m 0}/_{
m 0}$ $q_{h_{
m max}}$ maximaler Druckstoss in $q_0^{\prime\prime}$ Grössenordnung: 10 bis 15 $q_0^{\prime\prime}$ bei Pelton- und Francisturbinen; 30 bis 40 % bei Kaplanturbinen L =Länge der Rohrleitung m $v_{\mathtt{max}} = \mathtt{Wassergeschwindigkeit}$ bei Vollast m/s $H_s = \text{statischer Druck in mWS}$ Für die Ableitungen: a) Relative Abweichungen von der Beharrungslage Δn

$$\varphi = rac{ arDelta n}{n}$$
 Abweichung $arDelta n$ der Drehzahl bezogen auf die Drehzahl n

$$arphi_h = rac{h}{H_s}$$
 Druckstoss h bezogen auf den statischen Wasserdruck H_s

$$\mu = rac{arDelta\,m}{m_{
m max}}$$
 Abweichung $arDelta m$ des Servomotors bezogen auf die Vollast-Abweichung $m_{
m max}$

$$\mu_h = \frac{ \varDelta \, Q}{Q_{
m max}}$$
 Abweichung $\varDelta \, Q$ der Wassermenge bezogen auf die Vollast-Wassermenge $Q_{
m max}$

$$\eta = rac{\varDelta \, y}{y_{
m max}}$$
 Abweichung $\varDelta \, y$ des Reglers bezogen auf die maximale Abweichung $y_{
m max}$

$$\xi=rac{arDelta x}{x_{
m max}}$$
 Abweichung $arDelta x$ der Rückführung bezogen auf den maximalen Hub $x_{
m max}$ des Rückführkataraktes

Abweichung 1s der Steueröffnung bezogen auf s_{max} die maximale Oeffnung s_{max}

b) Absolute Werte -m_{max}- $P_0 =$ Leistung bei Be-Vollast harrung $P_{\text{max}} = \text{Vollast}$ $P_g = \text{Generator}$ leistung $P_t = \text{Turbinenleistung}$ $Q_{ exttt{max}} = exttt{Wassermenge}$ bei Vollast m³/s F =Querschnitt der Rohrleitung m² J = TrägheitsLeerlauf moment mkg s2 Servomotorhub -->

 $\omega_0 =$ Winkelgeschwin-

digkeit bei Beharrung s-1

bei steigender Anlaufzeit T_l der Wassermassen nötig war, die maximale Verstellgeschwindigkeit beim Oeffnen (Schliessen) durch Einfügen einer Blende in die Steuerleitung so zu begrenzen, dass die Oeffnungszeit auf z.B. 20 s statt früher 5 s steigt. Das hat aber nicht gehindert, dass innerhalb dieser begrenzten Zone die Verstellgeschwindigkeit mit der Oeffnung des Steuerventils nicht langsamer, sondern ganz wesentlich schneller als früher zunimmt. Hierzu wurde das Querschnittverhältnis k zwischen Steuerventil und Blende von z. B.

Bild 2

---m_{1/1}-

2 auf 80 gesteigert. Dem maximalen Hub der Steuerverbindung zwischen Regler und Servomotor, der notwendig ist, um den Servomotor um Vollast zu öffnen, entspricht der «maximale» Hub

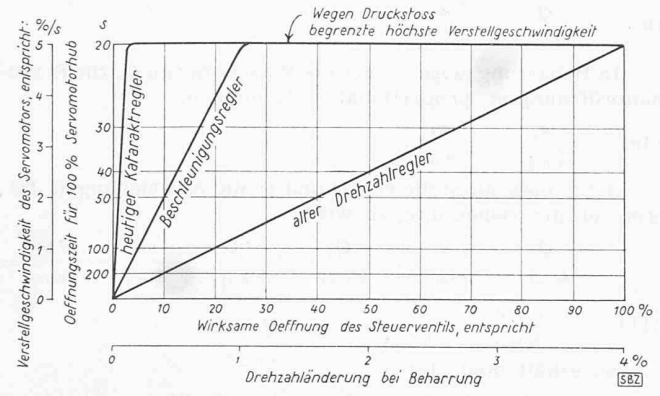


Bild 3. Bei der gleichen maximalen Verstellgeschwindigkeit, die eingehalten werden muss, um den Druckstoss zu begrenzen, kann man beim Kataraktregler mit beliebig grossem Anstieg der Verstellgeschwindigkeit mit der Oeffnung des Steuerventils stabil regulieren. Die zur Stabilität notwendige Verlangsamung der Steuervorgänge besorgt der Katarakt, während dies beim Beschleunigungsregler durch begrenzten Anstieg der Verstellgeschwindigkeit mit der Oeffnnung des Steuerventils geschieht

des Steuerventils. Wäre keine Blende vorhanden, so würde die Verstellgeschwindigkeit durch den Querschnitt des Steuerventils selbst begrenzt und der volle wirksame Oeffnungshub des Ventils (etwa $^1/_4$ des Ventildurchmessers) wäre der «maximale» Hub des Steuerventils (Vollast-Steuerhub). Durch eine Blende, die k mal kleiner ist als der Querschnitt des Steuerventils, wird die maximale Verstellgeschwindigkeit schon bei einem Hub des Steuerventils erreicht, der k mal kleiner ist als der Vollast-Steuerhub. Bei gleichen Steuerhüben wird also eine k mal grössere Verstellgeschwindigkeit hergestellt. Die für kleine Steuerhübe massgebende verzögernde Zeitkonstante sinkt also vom Wert T_s auf T_s/k . Die Steigerung des Querschnittverhältnisses k von 2 auf 80 gemäss der Tabelle 2 bedeutet demnach bei gleichem Ts eine 40 mal schnellere Reaktion. So kommt es, dass der äusserlich viermal langsamere Servomotor (20 statt 5 s Oeffnungszeit) auf kleine Steuerhübe — die für die Stabilität massgebend sind — zehnmal schneller reagiert als früher (massgebende Zeitkonstante T_s/k z. B. 0,25 statt 2,5 s).

Die Tendenz, die maximale Verstellgeschwindigkeit des Servomotors durch grosse Steuerventile schon bei kleinen Steuerhüben zu erreichen, wurde bisher bei der Berechnung der Regelvorgänge dadurch berücksichtigt, dass man meist für die Berechnung der maximalen Drehzahlabweichungen und des Druckstosses eine konstante Verstellgeschwindigkeit zu Grunde legte, für die Bestimmung der Stabilitätsbedingungen jedoch eine zum Steuerhub proportionale Verstellgeschwindigkeit. Bei den heutigen Kataraktreglern von Wasserturbinen mit ihren grossen Isodromzeiten kann man aber noch einen Schritt weiter gehen und bei der Berechnung der Stabilitätsbedingungen, für die die kleinen Abweichungen vom Beharrungszustand massgebend sind, die dynamisch massgebende Zeitkonstante Ts/k im Verhältnis zur Isodromzeit T; ganz vernachlässigen. Dies umso eher, als man heute häufig den Katarakt nicht mehr durch den Hauptservomotor selbst, sondern durch eine noch schneller wirkende Vorsteuerung

Mit einem solchen Uebergang zum idealen Kataraktregler setzt die Reglertheorie die Kette der Vereinfachungen fort. die mit wachsender Vervollkommnung der Regler praktisch zulässig wurde. Während man sich anfangs bemühen musste, den Einfluss der Unvollkommenheiten, wie Masse, Reibung. tote Spiele zu berücksichtigen, um die Regelvorgänge rechnerisch richtig beurteilen zu können, konnte man diese komplizierenden Grössen bei besseren Reglern praktisch vernachlässigen, mit dem Erfolg, dass wesentlich kompliziertere Regelprobleme rechnerisch mit einfachen Mitteln erfassbar wurden. So wie man dabei ein Regelorgan ohne Masse und Unempfindlichkeit einen idealen Regler nennt, ist es berechtigt, den Kataraktregler, dem der Hauptservomotor ohne Zeitverzögerung folgt, als idealen Kataraktregler zu bezeichnen. Der Antrieb des Steuerventils wächst gleichsam mit dem Servomotor zu einem «direkten» Regler zusammen. Auch hier gestattet die getroffene Vereinfachung unter Berücksichtigung aller praktisch interessierenden Einflussgrössen, RegelTabelle 2. Frühere und heutige Grenzwerte für Ts und k

Trotzdem die Oeffnungszeit T_s viermal länger geworden ist, folgt der Servomotor des idealen Kataraktreglers den kleinen Steuerhüben zehnmal schneller. Durch Steuerventile, die z. B. $k=80\,\mathrm{mal}$ grösser sind als die Blenden, welche die Oeffnungszeit begrenzen, genügt schon $^1/_{80}$ des Vollast-Steuerhubes, um die volle Verstellgeschwindigkeit zu erreichen, was die bei kleinen Steuerhüben massgebende Zeitkonstante auf $^1/_{80}$ reduziert. Der Servomotor folgt deshalb dem Steuerhub praktisch ohne Zeitverzögerung.

| or contracting and the con | T_s durch Blende begrenzte Oeffnungszeit | k Querschnitt- verhältnis: Steuerventil zu Blende | T_s / k bei kleinen Steuerhüben massgebende Zeitkonstante |
|--|--|---|---|
| frühere Grenzwertez. B. | | 2 | 2,5 |
| heutige Grenzwerte z.B. | 20 | 80 | 0,25 |

vorgänge mit genügender Genauigkeit zu erfassen, die bisher einer einfachen Berechnung nicht zugänglich waren. Diese Vereinfachung ergibt, wie in einer anderen Arbeit gezeigt werden soll, auch auf dem Gebiet des Leistungsreglers ein Vordringen der Reglertheorie, indem bisher theoretisch nicht lösbare Probleme der Berechnung zugänglich werden.

Insgesamt ergibt sich aus der Steigerung der Querschnittverhältnisse k in Tabelle 2 folgendes:

- 1. Schon sehr kleine Bruchteile der Steuerhübe, die notwendig sind, um die Maschine von Vollast auf Leerlauf zu steuern, genügen, um die maximale Verstellgeschwindigkeit des Servomotors herzustellen.
- 2. Trotzdem lässt sich diese maximale Verstellgeschwindigkeit auf den Wert begrenzen, der keinen zu grossen Druckstoss herbeiführt.
- 3. Bei den für die Stabilität massgebenden kleinen Steuerhüben nimmt die Verstellgeschwindigkeit so schnell zu, dass die Zeitverzögerung zwischen Kontaktregler und Hauptservomotor vernachlässigbar klein wird (direkter Regler).
- 4. Die mit Rücksicht auf die Stabilität bei allen Reglerarten einzuhaltende Zeitverzögerung der Regelvorgänge wird also nur durch den Katarakt bestimmt, ohne zusätzliche weitere Verzögerung durch den Hauptservomotor.
- 5. Der Uebergang zu diesem idealen Kataraktregler erleichtert die Berechnung der Stabilitätsbedingungen.

IV. Untersuchungsmethoden

1893 hat Stodola [1] die Grundlagen der mathematischen Reglertheorie geschaffen und dabei den heute wieder aktuell werdenden Einfluss der Wassermassen bei Wasserturbinen schon vollkommen behandelt. Tolle [2] hat 1921 nach dieser Methode die Stabilitätsbedingungen von Wasserturbinen untersucht, die von Kataraktreglern gesteuert werden. Die damals aufgestellten Formeln erfordern im Einzelfall längere Berechnungen, die für die Praxis zu kompliziert sind.

Gaden [9] untersucht, ausgehend von der Druckstosstheorie von Allievi, wie die Bewegungsgesetze der Wassermassen und die der Regelorgane (Beschleunigungsregler und Kataraktregler) sich gegenseitig beeinflussen. Er gewinnt dabei durch Einführung von Vektoren für den Einzelfall eine sehr anschauliche Erklärung dafür, unter welchen gegenseitigen Bedingungen von Wassermasse und Regler die Schwingungen unstabil zunehmen oder stabil abklingen. Die mathematischen Ergebnisse stimmen grundsätzlich mit denen von Tolle überein. Alméras [10] verwendet die gleichen mathematischen Methoden wie Stodola und Tolle und kommt zu den gleichen Ergebnissen.

Es kommt nun darauf an, einfache, für die Praxis geeignete allgemeine Unterlagen zu schaffen, die nicht nur den theoretischen Grenzfall der Stabilitätsbedingungen ermitteln. Um die Weiterentwicklung zu fördern und die Schwierigkeiten in den verschiedenen Anlagen richtig zu überblicken, muss man für die Praxis auch zahlenmässig wissen, wie stark die einzuhaltenden Bedingungen gegen die theoretische Stabilitätsgrenze durch Selbstreglung erleichtert und umgekehrt durch die Forderung nach Abklingen in einer vorgeschriebenen Zeit verschärft werden.

So anschaulich die vektoriellen Methoden auch sind, so gelten ihre Ergebnisse nur für den bestimmten vorausgesetzten Fall. Es wird deshalb versucht, mit der mathematischen

65. Jg. Nr. 39

Methode von Stodola für die Praxis brauchbare allgemein gültige Unterlagen zu schaffen. Für die Zeichen wurden die von Tolle benützten beibehalten, da bei den Veröffentlichungen in französischer Sprache [9], [10] die Bezeichnungen nicht einheitlich sind.

V. Berücksichtigung von Wassermassen und Selbstreglung

Zunächst werden die Beziehungen abgeleitet, die für alle Reglerarten gemeinsam gelten. Würden weder Wassermassen noch Selbstreglung einwirken, dann wäre die Turbinenleistung einfach in jedem Augenblick proportional zur Servomotoröffnung, die Netzleistung wäre unabhängig von der Drehzahl. Damit würde die Beschleunigung der Schwungmassen proportional mit der Servomotorabweichung zunehmen. Durch die Trägheit der Wassermassen ist aber die Wassermenge nicht in jedem Augenblick proportional zur Servomotoröffnung, ferner verursachen Drehzahlabweichungen in der Turbine und im Netz selbstregelnde Leistungsänderungen des Verbrauchs.

In einer Rohrleitung von der Länge L und dem Querschnitt F ist:

 $\mathit{Masse} = \mathit{Gewicht}/g = \mathit{LF}\,\gamma/g$

Beim statischen Gefälle H_s ist die

 $Kraft = FH_s \gamma$ (2)

(3) Beschleunigung
$$a = \frac{Kraft}{Masse} = \frac{FH_s \gamma}{LF \gamma} g = \frac{H_s g}{L}$$

In der Wasseranlaufzeit Tl würde die Wassermasse aus der Ruhe auf die «maximale» Vollast-Geschwindigkeit $v_{
m max}$ gebracht

(4) Anlaufzeit des Wassers
$$T_l = \frac{v_{\text{max}}}{a} = \frac{Lv_{\text{max}}}{g H_s}$$

In einem beliebigen Moment weicht die Wassergeschwindigkeit v der Wassermenge Q vom Beharrungswert ab; das Wassergefälle ist ferner um den Druckstoss h kleiner als das statische, wenn die Wassermasse sich um den positiven Wert abeschleunigt, wobei die Kraft, die der Druckstoss — h erzeugt — $Fh\gamma$ ist, also

$$Beschleunigung \ a = \frac{d \ v}{d \ t} = \frac{Kraft}{Masse} = -\frac{Fh \ \gamma}{L \ F \ \gamma} \ g =$$

$$= -\frac{h \ g}{L} = -\frac{h}{H_s} \frac{v_{\text{max}}}{T_l}; \ v = \frac{Q}{F}$$

$$(5) \qquad \frac{h}{H_s} = -\frac{d \ Q}{d \ t} \frac{T_l}{F v_{\text{max}}} = -\frac{d \ Q}{d \ t} \frac{T_l}{Q_{\text{max}}}$$

Wie bei früheren Ableitungen für Dampfturbinen mit Geschwindigkeitsreglern und Druckreglern [3], werden einheitlich alle relativen Mengenabweichungen mit μ und alle relativen Niveauabweichungen (Geschwindigkeit, Druck) mit φ bezeichnet, hier also die hydraulischen Werte mit

- Relativer Druckstoss $\varphi_h = \frac{h}{H_s}$ (6)
- Relative Wassermengenabweichung $\mu_h = \frac{\varDelta Q}{Q_{max}}$ (7)
- Relativer Druckstoss $\varphi_h = -\mu_h T_l$ (8)

Ein positiver Druckstoss h ergibt ein Gesamtgefälle $H_s + h$ und erzeugt eine Geschwindigkeit v, die grösser ist als die Geschwindigkeit v_s beim Beharrungsgefälle H_s .

$$v = \sqrt{2gH}$$
; $\frac{v}{v_s} = \frac{\sqrt{2g(H_s + h)}}{\sqrt{2gH_s}} = \sqrt{1 + \frac{h}{H_s}} =$

Im gleichen Verhältnis ist die Wassermenge Q grösser als der Servomotoröffnung m entspricht:

$$egin{aligned} rac{Q}{Q_{
m max}} &= rac{m}{m_{
m max}} \sqrt{1+arphi_h} arphi_h rac{m}{m_{
m max}} \left(1+0.5\,arphi_h
ight) = \ &= rac{m}{m_{
m max}} + 0.5\,rac{m}{m_{
m max}}\,arphi_h \end{aligned}$$

indem φ_h viel kleiner als 1 angenommen wird. Für kleine Abweichungen, die für die Stabilität massgebend sind, darf man ferner im zweiten Glied für den Faktor $m/m_{\rm max}$ näherungsweise den Belastungsfaktor bei Beharrung setzen z = $m_0/m_{\text{max}} = Q_0/Q_{\text{max}}$.

(9)
$$\frac{Q}{Q_{\rm max}} - \frac{m}{m_{\rm max}} = 0.5 z \varphi_h$$

In Beharrung wird ferner die Wassermenge Qo zur Servomotoröffnung $m_{\scriptscriptstyle 0}$ proportional angenommen.

$$(10) \quad \frac{Q_0}{Q_{\text{max}}} = \frac{m_0}{m_{\text{max}}}$$

Setzt man an Stelle von Q und m die Abweichungen $\angle Q$, Am von der Beharrung, so wird

$$\frac{Q}{Q_{\text{max}}} - \frac{m}{m_{\text{max}}} = \frac{Q_0}{Q_{\text{max}}} + \frac{\Delta Q}{Q_{\text{max}}} - \frac{m_0}{m_{\text{max}}} - \frac{\Delta m}{m_{\text{max}}} = 11$$

$$= \frac{\Delta Q}{Q_{\text{max}}} - \frac{\Delta m}{m_{\text{max}}} = \mu_h - \mu$$

So erhält man als:

Einfluss des Druckstosses auf die Wassermenge (12)

$$\mu_h = \mu + 0.5z \varphi_h$$

Wasser-
menge öffnung bruck-
stoss

Hieraus wird μ_h nach Formel (8) eliminiert

(13)
$$T_l \dot{\mu} + \varphi_h + 0.5 z \dot{\varphi}_h T_l = 0$$

In der Anlaufzeit der Schwungmassen Ta wird die Turbine unter dem Einfluss des maximalen Drehmoments aus dem Stillstand auf die Winkelgeschwindigkeit ω_0 gebracht. Die Leistung ist dabei anfangs 0, am Ende die Vollast P_{\max} , also im Durchschnitt $P_{\mathrm{max}}/2$. Also ist die Arbeit

$$\begin{split} A &= \frac{J \, \omega_\mathrm{o}^{\, 2}}{2} = \frac{P_\mathrm{max}}{2} T_a \qquad P_\mathrm{max} = \gamma \, Q_\mathrm{max} H_s \\ J \, \omega_\mathrm{o} &= \frac{T_a P_\mathrm{max}}{\omega_\mathrm{o}} = \frac{T_a \gamma \, Q_\mathrm{max} H_s}{\omega_\mathrm{o}} \end{split}$$

Setzt man für die relative Abweichung von der Winkelgeschwindigkeit $d\,\omega/\omega_0=d\,\varphi$ so wird

$$dA \equiv J\,\omega_0\,d\,\omega \equiv T_a\,\gamma\,Q_{
m max}\,H_srac{d\,\omega}{\omega_0} \equiv T_a\,\gamma\,Q_{
m max}\,H_s\,d\,\varphi$$
 $rac{d\,A}{d\,t} \equiv \gamma\,Q_{
m max}\,H_s\,T_a\,\dot{arphi}$

Die Beschleunigungsleistung wird durch den Unterschied der Turbinenleistung P_t gegen die Generatorleistung P_g aufgebracht.

(14)
$$\frac{dA}{dt} = P_t - P_g = \gamma Q_{\text{max}} H_s T_a \dot{\varphi}$$

Bei der Selbstreglung durch Abweichen der Drehzahl [4], [5] ist sowohl der Einfluss auf die Turbinenleistung Pt als auf die Netzleistung, also die Generatorleistung $P_{\rm g}$ zu be-

Die momentane Leistung Pt der Turbine ist die der Wassermenge entsprechende, vermehrt um die Leistungsabweichung APst durch Selbstreglung.

Turbinenleistung $P_t = \gamma QH + \Delta P_{st}$

Die Generatorleistung wäre ohne Selbstreglung bei der üblichen Annahme einer plötzlichen Belastungsänderung, die dann frei ausschwingt, die Beharrungsleistung $\gamma \, Q_{\scriptscriptstyle 0} \, H_s$. Durch die Leistungsabweichung $\varDelta P_{sg}$ der Selbstreglung wird nun die Generatorleistung

$$P_{g} = \gamma Q_{0}H_{s} + \Delta P_{sg}$$

$$P_{t} - P_{g} = \gamma QH + \Delta P_{st} - (\gamma Q_{0}H_{s} + \Delta P_{sg})$$

$$(15) \quad P_{t} - P_{g} = \gamma QH - \gamma Q_{0}H_{s} + (\Delta P_{sg} - \Delta P_{st})$$

- Gesamte Selbstreglung $\varDelta P_s = \varDelta P_{sg}$ -

Da bei den Turbinen der fast lineare Zusammenhang zwischen Drehmoment und Drehzahl bei einer bestimmten Servomotoröffnung übersichtlicher ist als der krummlinige Zusammenhang zwischen Leistung und Drehzahl, werden zweckmässig alle Leistungsabweichungen ${\it \Delta P_s}$ durch Selbstreglung, in Abweichungen des Drehmomentes AMs dargestellt, multipliziert mit der Winkelgeschwindigkeit $\omega_{\scriptscriptstyle 0}$ bei

(17)
$$\Delta P_s = (\Delta M_{sg} - \Delta M_{st}) \omega_0 = \left(\frac{\Delta M_{sg}}{M_0} - \frac{\Delta M_{st}}{M_0}\right) M_0 \omega_0$$

Als Selbstreglungskonstante wird eingeführt:

 $Selbstreglungskonstante \,\,e_s = rac{^0/_0 Drehmoment \ddot{a}nderung}{^0/_0 Drehzahl \ddot{a}nderung}$

Da der Nenner gleich der relativen Drehzahlabweichung φ und der Zähler gleich $\Delta M/M_0$ sind, gilt:

$$e_s \, \varphi = rac{\varDelta \, M}{M_o}$$

Ferner ist $M_0 \, \omega_0$ die Beharrungsleistung, also wenn man den Belastungsgrad $z_{\scriptscriptstyle 0}$ bezogen auf die Vollast $P_{\rm max}$ einführt

$$M_0 \, \omega_0 = z_0 \, P_{\mathrm{max}}$$

In (17) eingesetzt wird

(19)
$$\Delta P_s = (e_{sg} \varphi - e_{st} \varphi) z_0 P_{\text{max}} = z_0 e_s \varphi P_{\text{max}}$$
wobei

(20) Gesamte Selbstreglungskonstante
$$e_s = e_{sg} - e_{st}$$

Turbinen mässiger Schnelläufigkeit erreichen bei rd. 100 % Uebertouren die Durchbrenndrehzahl, bei der das Drehmoment 0, also die Drehmomentänderung gegen Vollast - 100 % wird. Die Selbstreglungskonstante ist dann gemäss Tabelle 3 $e_{st} \mathrel{\backsim} = 1$. Für die genaue Bestimmung von e_{st} bei Teillast ist die Tangente im Teillastpunkt massgebend. Schnelläufer haben höhere Durchbrenndrehzahlen, sodass der Nenner in Formel (18) grösser und z.B. $e_{st}\sim -$ 0,6 wird.

Für motorische Netzbelastung mit konstantem Drehmoment wird der Zähler in Formel (18) Null und damit $e_{sg}=0$. Ist das Netz mit rein Ohmschen Widerständen belastet und auf konstante Spannung geregelt, so bleibt die Leistung unabhängig von der Drehzahl (Frequenz) konstant. Dies bedeutet, dass jedes % Zunahme der Drehzahl 1 % Abnahme des Drehmoments bewirkt, also $e_{sg} = -1$. Ist dagegen die Spannung nicht reguliert, so ist die Selbstreglungs-Konstante je nach der Abhängigkeit der Spannung von der Frequenz grösser als 1. Wenn die Erregermaschine mit dem Generator gekuppelt ist, kann die Selbstreglungskonstante Werte von $e_{sg} = +$ 4 erreichen.

Aus Gleichung (14), (15), (16), (19) wird

$$\frac{d\,A}{d\,t} = \gamma\,Q_{\mathrm{max}}\,H_s\,T_a\stackrel{\cdot}{\varphi} = \gamma\,Q\,H - \gamma\,Q_0\,H_s\,-z_0\,e_s\,\varphi\,P_{\mathrm{max}}$$

Dabei ist

$$\gamma Q H = \gamma Q (H_s + h) = \gamma Q H_s \left(1 + \frac{h}{H_s} \right) =
= \gamma Q H_s (1 + \varphi_h)
\frac{dA}{dt} = \gamma Q H_s + \gamma Q H_s \varphi_h - \gamma Q_0 H_s - z_0 e_s \varphi_\gamma Q_{\max} H_s$$

Da Q den Momentanwert der Wassermenge darstellt und Q_0 den Beharrungswert, ist die Abweichung von der Beharrung $Q = Q_0 = AQ$. Damit wird:

$$\begin{split} \frac{dA}{dt} &= \gamma \Delta Q H + \gamma Q H_s \varphi_h - z_0 \varphi e_s \gamma Q_{\max} H_s = \\ &= T_a \gamma Q_{\max} H_s \dot{\varphi} \\ \frac{\Delta Q}{Q_{\max}} + \frac{Q}{Q_{\max}} \varphi_h - z_0 e_s \varphi = T_a \dot{\varphi} \end{split}$$

Für kleine Abweichung ist annähernd Q/Q_{max} der Belastungsgrad z bezogen auf die Wassermenge. Mit $\Delta Q/Q_{\rm max}$ μ_h wird

$$\mu_h + z \varphi_h - z_0 e_s \varphi = T_a \dot{\varphi}$$
 \uparrow
 \uparrow
 \downarrow
Wasser-
menge Stoss reglung Schwung-
massen

Man sieht, dass die Schwungmassen um die Druckstossenergie $z \varphi_h$ mehr aufzunehmen haben, als der Wasserenergie entspricht, während die Selbstreglung die Druckstossenergie zu kompensieren sucht. Die Wassermenge μ_h selbst ist aber darüber hinaus nach Formel (12) um 0,5 $z\, arphi_h$ grösser als der Servomotorstellung μ entspricht, so dass der Druckstoss insgesamt mit $1,5 z \varphi_h$ wirkt. Damit wird:

(21)
$$T_a \dot{\varphi} = \mu + 1.5 z \varphi_h - z_0 e_s \varphi$$
 $\uparrow \qquad \qquad \uparrow \qquad \qquad \uparrow$

Schwung-
massen Servo-
motor stoss Selbst-
reglung

Die Selbstreglung ist in so hohem Masse befähigt, den Druckstoss zu kompensieren, weil ihre Wirkung wie die des Druckstosses mit steigender Belastung z zunimmt.

In erster Annäherung kann man hier den Belastungsgrad $z_{\scriptscriptstyle 0}$, bezogen auf die erzeugte Maschinenleistung, dem Belastungsgrad z, bezogen auf die verbrauchte Wassermenge gleichsetzen.

Tabelle 3. Grössenordnungen der Selbstreglungskonstanten

| | e_{sg} | e_{st} | $e_s = e_{sg} - e_{st}$ |
|---------------------|-------------|-------------|--------------------------|
| Turbine | | | tate of the state of the |
| im Allgemeinen | | | radio - donale |
| Schnelläufer | w 43- | bis — 0,6 | aber – ser W |
| Generator | | - PE Iquite | July 1st priv |
| Netzbelastung: | | | eatrainide and |
| rein motorisch | | -10V SME | studend stady |
| (Drehmoment kon- | | | Techniky Jessia |
| stant) | 0 | 202 160 | . 4 |
| nur Ohmsche Wider- | | -sinu dadi | NUMBER OF STREET |
| stände | | - relation | den bro areb |
| mit Spannungsregler | - 1 | sub-metiker | at 17 0 states |
| ohne Spannungsreg- | | THE SHAD | nat white lan |
| lung | +1 bis $+4$ | -HI Shir | 2 bis 5 |
| Pariser Netz1) | 0,5 bis 1,5 | All Store | 1,5 bis 2,5 |

1) Nach Nasse, brieflich mitgeteilt.

Der physikalische Grund, warum sich die Trägheit der Wassermassen viel nachteiliger auswirkt als die Trägheit eines Servomotors liegt darin, dass der Servomotor seine Antriebsenergie von aussen zugeführt erhält, während bei der Trägheit der Wassermassen der Reglerkreis die Druckstossenergie selbst aufbringen muss.

Nach Tabelle 3 können alle Werte zwischen 0 und z. B. 5 auftreten. Bei Schnelläufern ($e_{st}=-0.6$) kann bei reiner Widerstandslast mit konstanter Spannung ($e_{sg}=-1$) die Selbstreglung sogar negativ werden $(e_s = -1 + 0.6 = -0.4)$. Daraus geht hervor, dass in kritischen Fällen keine Selbstreglung auftritt. Umgekehrt hat die Hilfe der Selbstreglung dazu geführt, dass man praktisch oft mit Reglerkonstanten ausgekommen ist, die in Fällen fehlender Selbstreglung gänzlich ungenügend sind.

Aus Gleichung (21) lässt sich φ_h berechnen und in Formel (13) einsetzen. Das ergibt die Gleichung für die

(22)
$$\begin{cases} \textit{Massenbeschleunigung mit Wassermassen und Selbst-reglung } 0.5z\,T_a\,T_l\,\dot{\varphi} + T_a\,\dot{\varphi} + z\,T_l\,\dot{\mu} + 0.5z\,z_0\,T_l\,e_s\,\dot{\varphi} + z_0\,e_s\,\varphi - \mu = 0 \end{cases}$$

Um den Reglerkreis zu schliessen, ist nun festzustellen, welche Steuergleichung, d. h. welche Beziehung zwischen Servomotor μ und Drehzahl φ , bei den verschiedenen Reglerarten gelten. Da die permanente Statik bei allen Reglerarten stabilisierend wirkt, aber im kritischen Fall, dem die Regler zu genügen haben, diese Hilfe fehlt oder sehr klein ist, wird in allen Fällen der Isodromregler untersucht, bei dem die permanente Statik Null ist. (Fortsetzung folgt)

Literaturverzeichnis

- [1] Stodola A.: Ueber die Regulierung von Turbinen SBZ 1893, Bd. 22, S. 113*, 121*, 126*, 134*.
 [2] Tolle M.: Regelung der Kraftmaschinen, Springer 1921.

- [2] Tolle M.: Regelung der Kraftmaschinen, Springer 1921.
 [3] Stein Th.: Regelung und Ausgleich in Dampfanlagen, Springer 1926.
 [4] Stein Th.: Selbstregelung, ein neues Gesetz der Regeltechnik. Z. VDI 1928, Nr. 6, S. 165.
 [5] Stein Th.: Systematik der Reglerarten, «Escher-Wyss-Mitteilungen» 1940, S. 56.
 [6] Gantenbein A. und Hirt M.: Der neue elektrische Drehzahlregler Oerlikon-Escher Wyss, SEV-Bulletin 1941, Nr. 14.
 [7] Moser J.: 100 Jahre Wasserturbinen «Escher-Wyss-Mitteilungen» 1942, S. 101.
 [8] Lüithi A. Reglerschwingungen und schiefwinklige Vektondigen.
- [8] Lüthi A.: Reglerschwingungen und schiefwinklige Vektordia-gramme. SBZ 1942, Bd. 119, No. 15, Seite 171—174*. [9] Gaden D: Considérations sur le problème de la stabilité, Lausanne 1945.
- Lausanne 1945.

 [10] Al méras P.: Influence de l'inertie de l'eau sur la stabilité d'un groupe hydro-électrique. La houille blanche 1946, S. 81, 131, 189, 407.

 [11] Stein Th.: Vereinfachte Primärregelung der Uebergabeleistung. SEV-Bulletin 1946, No. 3.

 [12] Stein Th.: Drehzahlregelung von Flugzeug-Triebwerken. SBZ 1946, Bd. 127, S. 295*, 309*, 323*.

Betonverkleidung von Fluss-Böschungen DK 627.417

Der Schutz der Böschungen grosser Flüsse gegen Erosion erfordert den örtlichen Verhältnissen gut angepasste Mittel. Wie sehr die anzuwendenden Methoden in ständiger Entwicklung begriffen sind, wird einem recht bewusst beim Studium der reich bebilderten Veröffentlichung von Ing. Haas in der April- und Mai-Nummer von «Concrete»